

# UDRŽOVATELNOST PROGRAMOVÝCH SYSTÉMŮ

Doc. Ing. Jan Honzík, CSc.

Příspěvek je přehledným zpracováním publikace /1/. Výsledky dosa-  
vadního stavu výzkumu v oblasti návrhu a výstavby programových sys-  
témů i vlastní experimentální zkušenosti vedou autory k závěru,  
že použití určitých architektonických principů při návrhu a výstav-  
bě systémů vede k dobře udržitelným programům. Udržitelnost úzce  
souvisí se spolehlivostí. Základním projevem spolehlivosti programu  
je jeho bezchybný chod i při změnách v programu, zadání, nebo jiných  
vlastnostech programu. Autoři nabízejí formální prostředky pro kvanti-  
tativní srovnání udržitelnosti různých variant programu.

## 1. Struktura programového komplexu

V současné době jsou již dostatečně známy principy multipro-  
gramování i současného rozpracování úkolů (multitasking). Při mul-  
tiprogramovém režimu sdílí několik uživatelských programů jeden po-  
čítač. Řídicí program aktivuje a deaktivuje programy podle pravidel,  
která určují dalšího uživatele. Při současném rozpracování úloh mō-  
že mít navíc uživatelský program několik "inkarnací" (převtělení)  
a řídicí program poskytuje časové úseky jednotlivým inkarnacím uží-  
vatelských programů.

Navržená struktura je založena na přesvědčení, že takový sys-  
tém sdílení času je vhodnou předlohou pro architekturu programů.  
Program se dělí na zcela nezávislé části a každá z nich má spojení  
pouze s řídicím programem. Ten plánuje provedení každé části podle  
potřeby. Paralelní části musí být reentrantní, protože není ekono-  
mické vytvářet samostatnou kopii programu pro každou inkarnaci. Řá-  
da aplikací neodpovídá idealizovanému modelu pro sdílení času. Při-  
puště-li však dvě výjimky z pravidel výstavby, pak budou vhodná  
pro všechny aplikace. První výjimka umožní jisté sdílení dat mezi  
jednotlivými částmi a druhá dovolí jednotlivým částem komunikovat  
jistým, dobře definovaným způsobem, mezi sebou. Při každém návrhu  
zůstávají v platnosti zásady: nezávislé programové části, nejmenší  
možné sdílení dat a nejmenší možná vzájemná komunikace. Takový ná-  
vrh již vyhovuje široké třídě aplikací; lze ho rozšířit tak, aby

vyhovoval i pro nejsložitější systémy v reálném čase nebo zúžit tak, aby byl vhodný i pro jednodušší požadavky. Většina částí se nemusí rozpracovávat paralelně, ani není nutné aktivovat části po časových úsecích. Návrh struktury vyžaduje oddělení logiky programu a programových dat. To umožní izolovat data a minimalizovat komunikaci. Návrh struktury znázorňuje obr. 1. a 2. v němž se vy-  
kytují tyto části:

Program - je souhrn objektů programové řídicí logiky a dat. Provádí funkce dané problémem. Sestává z řídicí části, z několika problémových částí a datové báze.

Třída - je soubor objektů prog.říd.logiky a je největší podčástí programu. Zahrnuje podprogramy, třídu dat a třídu modulů. Data třídy jsou dostupná jen vnitřním komponentám třídy. Existují dva typy tříd:

Řídicí třída - její podprogramy provádějí plánování a aktivační funkce programu.

Problémová třída - její podprogramy hrají roli uživatelských programů v prostředí sdílení času.

Mezi řídicí a problémovou třídou jsou pouze tyto rozdíly:

\*Řídicí třída obsahuje plánovací programy pro všechny problémové třídy a je médiem pro komunikaci zpráv mezi podprogramy.

\*Problémové třídy jsou aktivovány řídicí třídou a pracují v přiděleném časovém úseku.

\*Řídicí třída obsahuje moduly dosažitelné z problémových tříd pro účely komunikace s říd. třídou a pro poskytování globálních funkcí.

Podprogram - je soubor prog.říd.logiky. Je největší podčástí třídy a sestává z modulu těla, z dat podprogramu a z modulů podprogramu. Říd. program aktivuje modul těla podprogramu. Moduly těla a podprogramu se mohou vzájemně volat. Žádný objekt vně podprogramu nemůže volat jeho moduly nebo získat jeho data.

Modul - je samostatně kompilovatelný soubor programové říd. logiky a je největší podčástí podprogramu. Sestává z dat modulu, řídicího segmentu a pracovních segmentů. Říd. segment je vstupní/výstupní bodem modulu.

Segment - je soubor prog.říd.logiky a je podčástí modulu. Je nejmenší částí v hierarchii struktury programu. Sestává ze souboru dat a zdrojových příkazů a řeší jednu funkci. Má jeden vstupní a jeden výstupní bod. Všechny segmenty mají přístup k datům modulu.

Zpráva - je datový objekt, který se používá pro komunikaci mezi

podprogramy. Mechanismus zprávy poskytuje dvě funkce:

- \*Komunikace mezi podprogramy formálnía, dobře ovládaným způsobem
- \*Dodání prostředků pro rozhodování o tom, který podprogram se má aktivovat a kdy.

## 2. Vztah struktury a udržitelnosti programu

Vztah mezi popisovanou strukturou a udržitelností programu lze stručně shrnout do několika bodů:

- \*Vysoký stupeň vzájemné izolovanosti jednotlivých komponent podstatně nebo zcela vylučuje nežádoucí vlivy způsobené provedených v jednom modulu na modul druhý.

- \*Komunikační spojení a monitorování se provádí prostřednictvím báze zpráv. V každém okamžiku obsahuje báze zpráv záznam okamžitého stavu historie komunikace v systému.

- \*Určení chyby je možné výpisem báze zpráv. Většinou se prostor chyby zúží na malé množství možností, což lze využít k použití vhodných diagnostických prostředků.

- \*Kontrola přetížení systému se provádí monitorováním báze zpráv. Procento zaplnění báze indikuje v každém okamžiku zátěž systému.

- \*Navrhovaná struktura významně zjednodušuje řízení programu.

- \*Navrhovaná struktura zajišťuje větší přehlednost pro vícepočítačové konfigurace.

## 3. Stanovení udržitelnosti

V průběhu sedmdesátých let se věnovalo značné úsilí studiu a vývoji programovacích technik. Cílem byly systémy s vyššími kvalitami, snížení času potřebného k vývoji a redukce nákladů vynaložených za celou dobu života programového systému. Na konci návrhu programu na nejobtraktnější úrovni se často dělají analýzy i zkušební simulace, které mají prověřit kvality navrhovaného systému. Žádná z metod však neodpovídá na otázky jako:

- \*Jak udržitelný bude výsledný program?

- \*Jak adaptibilní bude celý program, nebo které jeho části budou adaptibilní?

- \*Jaké budou náklady na zbývající vývoj systému a kolik bude stát údržba takto navrženého systému?

- \*Jak lze porovnat jednotlivé varianty návrhu mezi sebou z hlediska jejich citlivosti na interakci a tudíž i na udržitelnost a testovatelnost?

Jsou to složité otázky. Příspěvek uvádí návrh, jak lze odpovídat na tyto otázky za předpokladu, že se dodrží architektura struktury programu popsaná v předcházejících odstavcích.

Základy predikčního určení udržitelnosti pomocí matic propojení jsou uvedeny v /2,3/. Tato metoda přináší významnější užitek v případě dodržení popisované struktury programu. V čem spočívá princip metody predikčního určení udržitelnosti?

\*Nechť  $P$  je matice  $n \times n$ , jejíž prvek  $i, j$  reprezentuje pravděpodobnost, že změna v modulu  $i$  způsobí změnu v modulu  $j$ .

\*Nechť  $A$  je matice  $1 \times n$ , jejíž prvek  $a_j$  je počet počátečních změn v modulu  $j$ .

Pak 
$$T = A ( 1 + P + P^2 + P^3 + \dots ) = A ( 1 - P )^{-1}$$

je matice  $1 \times n$  (vektor  $T$ ) a prvek  $t_j$  představuje úhrnný počet změn v modulu  $j$  způsobený počátečními změnami v modulech, které jsou uvedeny v matici  $A$ .

Je-li možné pro každou variantu návrhu určit matici  $P$ , pak vyhodnocení vektoru  $T$  umožní zhodnotit vlastnosti návrhu a odhadnout oblastí potenciálních problémů. Jestliže např.  $a_j = 0$  pro  $j=1$  a  $a_j = 1$  pro  $j=1$ , pak vektorem  $T$  získáme údaje o citlivosti navrhovaného systému na změny v modulu  $i$ . Je-li  $a_j = 1$  pro všechna  $j$ , pak získáme přehled o celkové konektivitě návrhu systému. Pak výraz  $m = (\sum (t_i - 1))/n$  dává míru složitosti návrhu systému. Čím je  $m$  vyšší, tím je udržitelnost nižší. Je-li  $m$  nedefinované (řada v  $T$  nekonverguje) nebude program nikdy dokončen. Hodnoty  $T, m$  a  $t_j$  dávají možnost i pro odhad testovacích a udržovacích nákladů. Řada  $1 + P + P^2 + \dots$  konverguje, jsou-li vlastní hodnoty matice  $P$  v uzavřeném intervalu  $(0,1)$ . Je to podmínka pro životaschopnost programu, protože jinak jedna změna způsobí nekonečný počet změn.

Matice propojení má při dodržení popisované struktury jednoduchý tvar (obr.3.) Má úroveň podprogramu, tzn. že obsahuje řádky pro moduly i data každého podprogramu i třídy. Prvky lze vyjádřit pomocí informací dostupných na konci návrhu systému na vyšší úrovni a to pomocí této symboliky:

\*  $(i, j)$  znamená podprogram  $j$  třídy  $i$ .  $i=E$  znamená řídicí třídu a  $j=0$  znamená odkaz na třídu. (např.  $(1,0)$  je odkaz na třídu modulů nebo dat třídy 1).

\*  $N_M(i, j)$  je počet modulů  $(i, j)$ . (Např.  $N_M(E, 1)$  je počet modulů podprogramu 1 řídicí třídy)

$N_D(1,j)$  je počet datových objektů (1,j)

$R(1,j)$  je počet alokací datových objektů (1,j) do modulu (1,j).  
(Alokací se zde rozumí fakt, že modul se smí odkazovat na datové objekty)

Prvky propojovací matice se pak aproximují těmito vztahy:

$M(1,j) = m_1 N_M(1,j)$ , kde  $m_1 = \frac{P}{MPM}$ , kde  $P$  je pravděpodobnost, že změna v jednom modulu dané úrovně způsobí změnu v jiném modulu téže úrovně, když úroveň obsahuje max. počet modulů, a  $MPM$  je max. počet modulů na této úrovni.

$D(1,j) = d_1 N_D(1,j)$ , kde  $d_1 = \frac{P}{MPDO}$ , kde  $P$  je pravděpodobnost, že změna v jednom datovém objektu způsobí změnu v jiném datovém objektu na téže úrovni, když úroveň obsahuje max. počet datových objektů, a  $MPDO$  je max. počet datových objektů na této úrovni.

$X(1,j) = x_1 (R(1,j) - N_D(1,j)) / (N_M(1,j) N_D(1,j))$ , kde  $N_M(1,j) \neq 0$ ;  
v jiném případě se bere  $X(1,j) = 0$ .

$x_1$  je pravděpodobnost, že změna v modulu 1,j způsobí změnu v datovém objektu (1,j), když všechna data objektů (1,j) jsou alokována do všech modulů (1,j).

#### 4. Příklad

Obr.4 ukazuje příklad propojovací matice, v níž jsou dvě problémové a jedna řídicí třída, každé se dvěma podprogramy. Typické hodnoty pro parametry jsou uvedeny v Tab.1. Konstanty  $m$ ,  $d$  a  $x$  vyjadřují váhy udělené každému typu propojení a jsou navrženy tak, aby vytvářely pravděpodobnosti, jejichž suma je menší než 1. Tab.2, uvádí tři případy vektorů  $T$  pro tři varianty návrhu. První varianta je pro matici na obr.4, druhá pro případ, kdy se data řídicí třídy zredukovala přesunem 80% dat do problémové třídy a třetí, v níž se všechna řídicí třídy a 2.třídy vynechala. Přesun dat ovlivnil  $t_{10} - t_{18}$ . Tvářší  $t_{18}$  se žádoucím způsobem zredukoval a  $m$  se snížilo o 25%. Ostatní prvky se změnily jen málo, protože zlepšení způsobené méně globálními daty převažuje nad degradací způsobenou větším počtem problémových dat. Je to jednoduchý projev staré pravdy, že data mají být pokud možno lokální. Ve třetí variantě je interakce vyloučených datových tříd nulové (viz  $t_{17}$  a  $t_{18}$ ), menší redukce je i u jiných prvků a  $m$  se opět zmenšilo o 61%.

## 5. Systém STEP

V závěru publikace /1/ se autoři zmiňují o systému STEP ("Structured Techniques for Engineering Projects") což je soubor metod, pravidel a nástrojů využívaných v etapě vývoje programového vybavení. Systém STEP je strukturovaná kombinace lidské činnosti, nástrojů, datovýchází a interaktivních počítačových prostředků, které podporují činnosti při řízení projektu, programování, kontrole vlastností výsledného produktu a předpovědích nákladů na vývoj.

## 6. literatura

/1/ Rosene, A.F., Connolly, J.E., Bracy, K.M.: Software Maintainability, What It Means and How to Achieve It.

IEEE Transactions on reliability, Vol. R-30, No. 3, August 1981

/2/ in /1/ Haney, F.M.: Module connection analysis - A tool for scheduling software debugging activities.

AFIPS Conf. Proc. Vol 41 1972

/3/ in /1/ Haney, F.M.: The architecture of software

Data Base Magazine, Vol 5, No. 1. 1973

Pozn. S ohledem na úsporu místa jsou obrázky uvedeny v pořadí 2,1,3,4.

$i, j,$	M	D	X
E,0	0.025	0.04	0.0008
1,0	0.035	0.05	0.0006
2,0	0.05	0.075	0.0004
E,1	0.0025	0.015	0.0025
E,2	0.001	0.005	0.01
1,1	0.0025	0.002	0.0025
1,2	0.005	0.004	0.0011
2,1	0.0025	0.005	0.0025
2,2	0.0025	0.01	0.0025

Tab.1. Hodnoty parametrů

j	spojení podle obr.3	redukce dat řídi- cí třídy o 80%	vylovení dat třídy
1	1.078917	1.078445	1.077214
2	1.080047	1.079628	1.078507
3	1.098834	1.098360	1.096576
4	1.098849	1.098374	1.096589
5	1.037765	1.037266	1.036402
6	1.044257	1.043334	1.042464
7	1.148973	1.148568	1.147459
8	1.203055	1.202629	1.200974
9	1.252247	1.251791	1.250671
10	1.124140	1.085421	1.004702
11	1.124882	1.086086	1.005207
12	1.166169	1.128689	1.007780
13	1.172059	1.134390	1.012870
14	1.078234	1.018895	1.017859
15	1.073325	1.016534	1.015502
16	1.233564	1.223619	1.001916
17	1.334332	1.325350	1.000000
18	1.437900	1.018230	1.000000
a	0.15475	0.11531	0.060709

Tab 2. Hodnoty vektoru T a ukazatele konektivity a pro tři případy

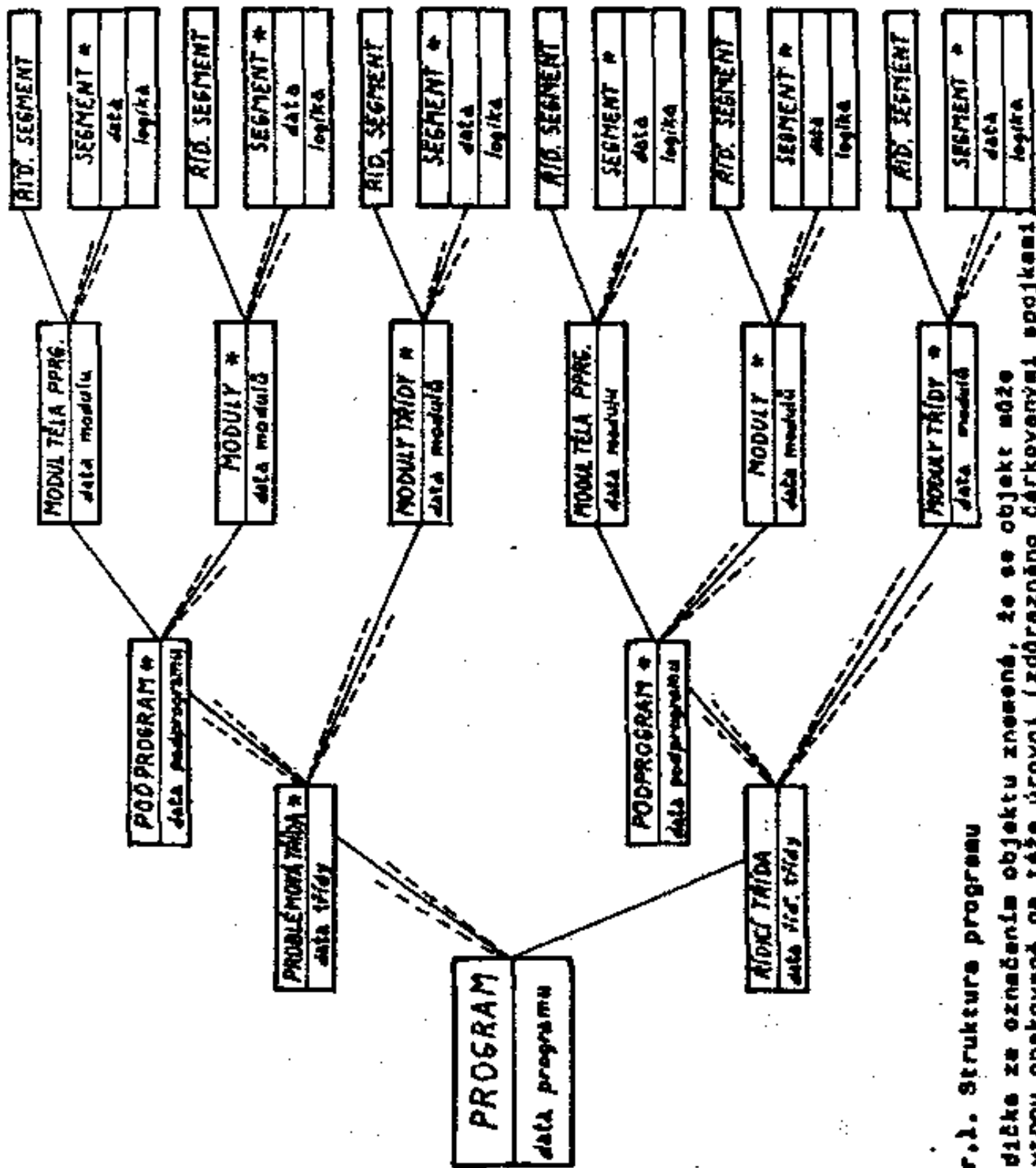
X \ Y		PROBLÉMOVÁ TŘÍDA			ŘÍDÍCÍ TŘÍDA		
		podprogram	modul	modul třídy	podprogram	modul	synt. nový modul
PROBLÉMOVÁ TŘÍDA	podprogram		C	C			C
	modul třídy		C	C			C
	modul			C			C
ŘÍDÍCÍ TŘÍDA	podprogram	A			A	C	C
	modul třídy	A			A	C	C
	synt. nový modul						C

Obr.2. Tabulka volání

"C" ... Y může volat X

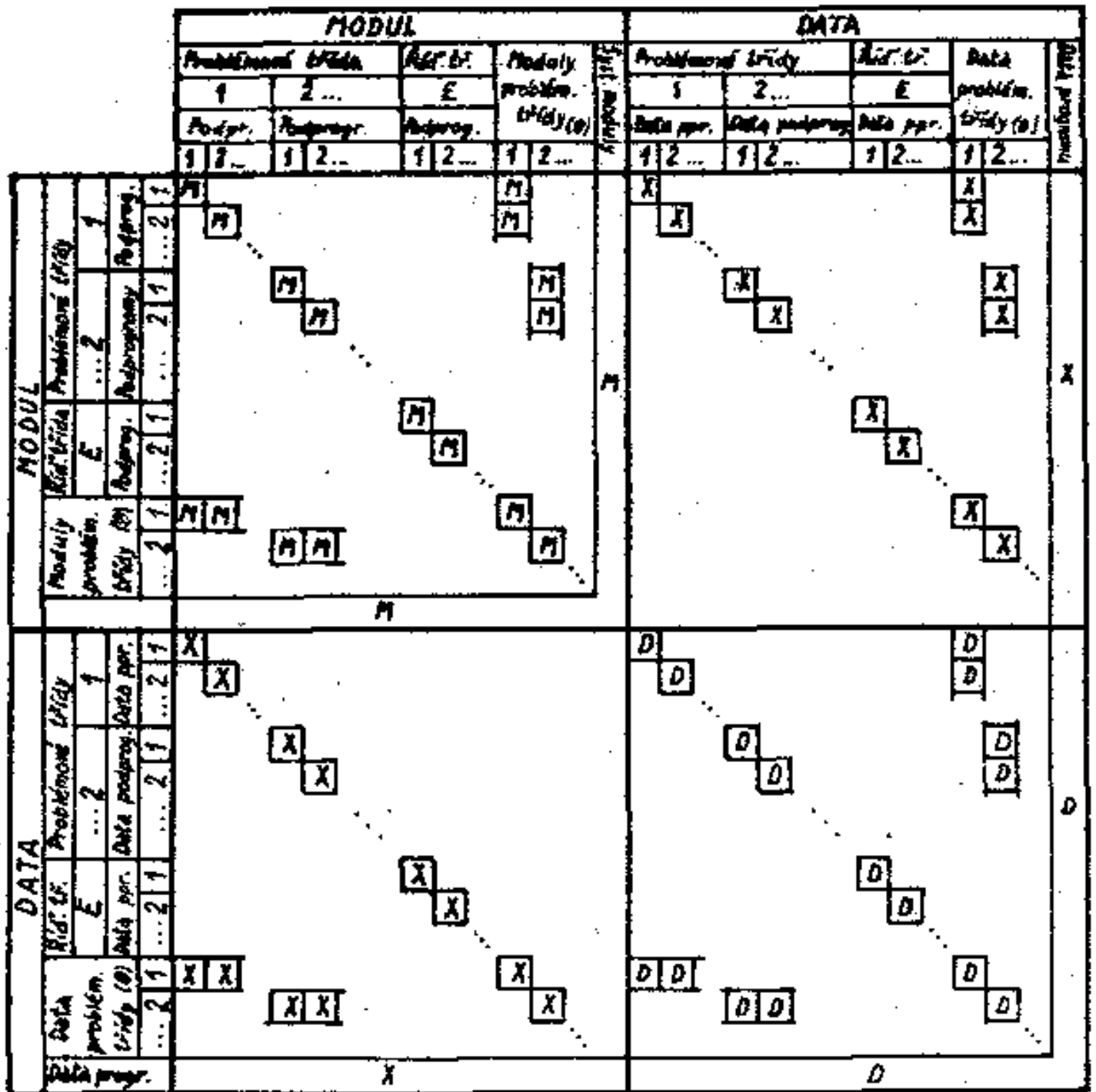
"A" ... Y může aktivovat X

Prázdná kolonka znamená, že neexistují volání ani aktivizační vztahy mezi Y a X



Obr. 1. Struktura programu  
 Hvězdičky ze označení objektu znamenají, že se objekt může vyskytnout opakovaně na téže úrovni (zdrženo čárkovými spojkami)





Obr.3. Trar matrice propoziei

$$P = \begin{bmatrix} M & X \\ X_T & D \end{bmatrix}$$

$$H = \begin{bmatrix} M_{1,1} & 0 & 0 & 0 & 0 & 0 & M_{1,0} & 0 & M_{E,0} \\ 0 & M_{1,2} & 0 & 0 & 0 & 0 & M_{1,0} & 0 & M_{E,0} \\ 0 & 0 & M_{2,1} & 0 & 0 & 0 & 0 & M_{2,0} & M_{E,0} \\ 0 & 0 & 0 & M_{2,2} & 0 & 0 & 0 & M_{2,0} & M_{E,0} \\ 0 & 0 & 0 & 0 & M_{E,1} & 0 & 0 & 0 & M_{E,0} \\ 0 & 0 & 0 & 0 & 0 & M_{E,2} & 0 & 0 & M_{E,0} \\ M_{1,0} & M_{1,0} & 0 & 0 & 0 & 0 & M_{1,0} & 0 & M_{E,0} \\ 0 & 0 & M_{2,0} & M_{2,0} & 0 & 0 & 0 & M_{2,0} & M_{E,0} \\ M_{E,0} & M_{E,0} & M_{E,0} & M_{E,0} & M_{E,0} & M_{E,0} & M_{E,0} & M_{E,0} & M_{E,0} \end{bmatrix}$$

$$D = \begin{bmatrix} D_{1,1} & 0 & 0 & 0 & 0 & 0 & D_{1,0} & 0 & D_{E,0} \\ 0 & D_{1,2} & 0 & 0 & 0 & 0 & D_{1,0} & 0 & D_{E,0} \\ 0 & 0 & D_{2,1} & 0 & 0 & 0 & 0 & D_{2,0} & D_{E,0} \\ 0 & 0 & 0 & D_{2,2} & 0 & 0 & 0 & D_{2,0} & D_{E,0} \\ 0 & 0 & 0 & 0 & D_{E,1} & 0 & 0 & 0 & D_{E,0} \\ 0 & 0 & 0 & 0 & 0 & D_{E,2} & 0 & 0 & D_{E,0} \\ D_{1,0} & D_{1,0} & 0 & 0 & 0 & 0 & D_{1,0} & 0 & D_{E,0} \\ 0 & 0 & D_{2,0} & D_{2,0} & 0 & 0 & 0 & D_{2,0} & D_{E,0} \\ D_{E,0} & D_{E,0} & D_{E,0} & D_{E,0} & D_{E,0} & D_{E,0} & D_{E,0} & D_{E,0} & D_{E,0} \end{bmatrix}$$

$$X = \begin{bmatrix} X_{1,1} & 0 & 0 & 0 & 0 & 0 & X_{1,0} & 0 & X_{E,0} \\ 0 & X_{1,2} & 0 & 0 & 0 & 0 & X_{1,0} & 0 & X_{E,0} \\ 0 & 0 & X_{2,1} & 0 & 0 & 0 & 0 & X_{2,0} & X_{E,0} \\ 0 & 0 & 0 & X_{2,2} & 0 & 0 & 0 & X_{2,0} & X_{E,0} \\ 0 & 0 & 0 & 0 & X_{E,1} & 0 & 0 & 0 & X_{E,0} \\ 0 & 0 & 0 & 0 & 0 & X_{E,2} & 0 & 0 & X_{E,0} \\ 0 & 0 & 0 & 0 & 0 & 0 & X_{1,0} & 0 & X_{E,0} \\ 0 & 0 & 0 & 0 & 0 & 0 & 0 & X_{2,0} & X_{E,0} \\ X_{E,0} & X_{E,0} & X_{E,0} & X_{E,0} & X_{E,0} & X_{E,0} & X_{E,0} & X_{E,0} & X_{E,0} \end{bmatrix}$$

Chr.4. Příklad matice P